

УДК. 631. 31. 624

АНАЛІЗ ЗОН ДЕФОРМАЦІЇ ГРУНТУ ПРИ РОБОТІ ДИСКОВИХ ЗНАРЯДЬ

I. М. Бендеря, докт. пед. наук
Подільський ДАТУ;

Б.П. Польовий, зав. лабораторії
ННЦ «ІМЕСГ»;

В.Ф. Понеділок, доцент,

М.А. Василинич, студент
Подільський ДАТУ

Викладені теоретичні підходи до визначення зон деформації ґрунту при роботі дискових знарядь. Наведені математичні залежності з визначення площин зон деформації дисковими робочими органами, як підстави для енергетично-го аналізу процесу обробітки ґрунту.

Ключові слова: ґрунт, обробіток, диск, знаряддя, зона, деформація, площа, опір.

Проблема. В аграрному секторі України широкого застосування набуває обробіток ґрунту знаряддями дискового типу.

Дисковий спосіб обробітки ґрунту, або дискування – це суцільне розпушування дисковими робочими органами на глибину до 25 см [1], що здійснюється дисковими знаряддями. Він характеризується підрізанням, розпушеннням з частковим обертанням та укладанням у борозну обробленої скиби зі зміщенням її у поперечному і поздовжньому напрямах порівняно з вихідним положенням.

Цей спосіб є проміжним між полицевим та чизельним. Він значно поширеній в Україні завдяки високій продуктивності агрегатів та технологічній надійності роботи на перезважених та пересушених ґрунтах з великою кількістю (до 120 ц/г) рослинних решток.

Використання цих знарядь забезпечує скорочення термінів підготовки ґрунту до сівби, зниження енергозатрат на 20...25% у порівнянні з іншими типами ґрунтообробних машин [2]. Однак дискові ґрунтообробні знаряддя мають ряд технологічних недоліків, основними з яких є утворення гребенистої поверхні дна борозни та поздовжня не-

© I.M. Бендеря, Б.П. Польовий, В.Ф. Понеділок, М.А. Василинич.

Механізація та електрифікація сільського господарства. Вип. 95. 2011.

стійкість агрегату від діагонального розміщення секцій.

Обґрутування робочих процесів дискового обробітку, спрямованих на покращення показника обертання скиби та розробка конструкцій відповідних робочих органів, що є основною задачею наукового супроводу створення машини вказаного типу, а сама проблема актуальною.

Аналіз останніх досліджень і публікацій. Питанням вивчення роботи дискових знарядь присвячені наукові дослідження провідних вчених країни.

Зокрема, В.В. Погорілий, С.А. Чуб, О.П. Гуцол провели кінематичний аналіз дискових робочих органів [3]. С.А. Кушнарьов розробив поліноміальні моделі взаємодії сферичних дисків з ґрунтом [4]. В.М. Булгаков, М.О. Шубенко розробили методологію технолого-конструктивного розрахунку дискових знарядь [5].

Значний внесок в удосконалення конструкції робочих органів дискових знарядь зробили Б.А. Шелудченко, В.О. Шубенко [2]. Проблемі оптимізації параметрів сферичних дисків присвячені праці І.А. Шевченка [6].

Взаємодію сферичних дисків з ґрунтом, силовий аналіз робочих органів і конструкцій в цілому вивчали Н.А. Лучинський [7], П.С. Нартов, Г.Н. Синеоков [8-10], Я.С. Гуков [11]. Питанню підвищення стабільності ходу дискових знарядь розглядають у своїх працях Б.П. Польський, О.П. Гриценко [12, 13].

Виділення невирішених раніше проблем. В основному наукові дослідження дискових робочих органів проводилися в напрямі обґрутування раціональних технологічних параметрів, визначення впливу дискових знарядь на якість обробітку ґрунту, урожайність сільськогосподарських культур.

Вивченю енергетичних затрат при деформації ґрунту, в основному, присвячені праці Н.А. Лучинського, П.С. Нартова, Г.Н. Синеокова [7, 8, 10].

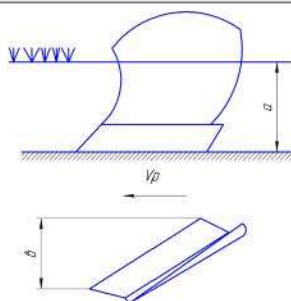
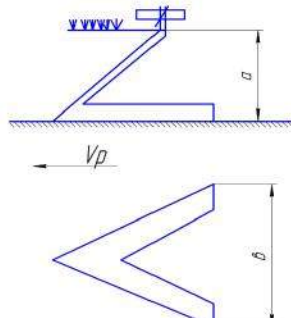
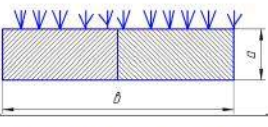
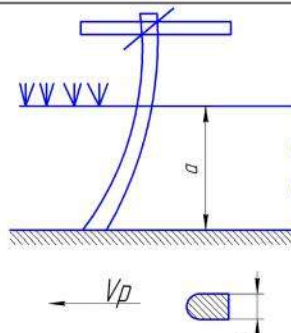
Основою аналітики з визначення опору деформації є класична залежність:

$$R = K_{num} F, \quad (1)$$

де R_{num} – питомий опір деформації ґрунту; F – площа деформації.

Значення питомих коефіцієнтів визначені експериментально, зведені на рис. 1, в яких враховано тип ґрунту, вологість, швидкість, форма робочого органу. Площа деформації ґрунту характерна для кожного

типу робочих органів.

Назва робочого органу	Технічна схема	Формула з визначення площи зони деформації
Корпус лемішно - полицеального плуга		$F_d = ab$ 
Лапа культиватора підрізна		$F_d = ab$ 
Лапа культиватора розпушувальна		$F_d = a(b + a \operatorname{tg} \mu)$ <p>μ - кут сколювання ґрунту</p>

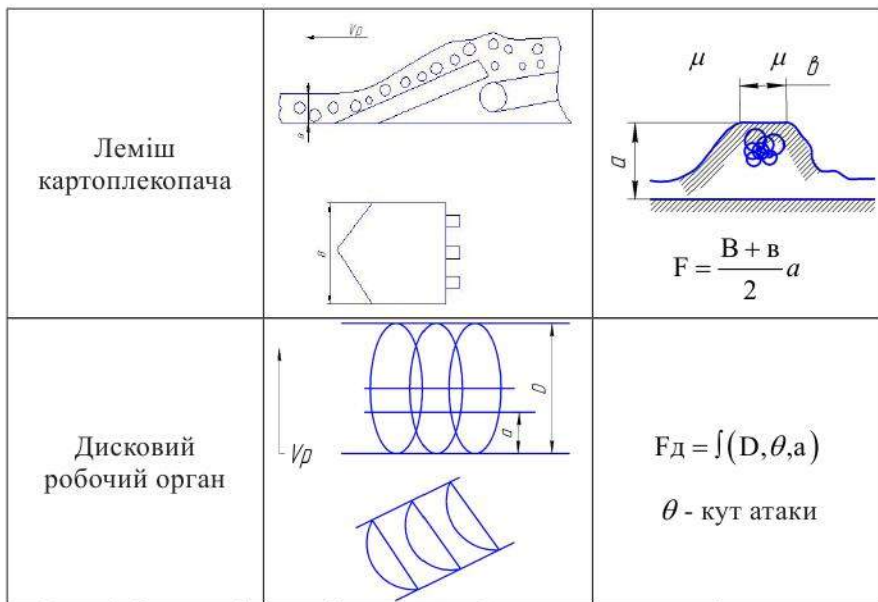


Рис. 1. Зони деформації ґрунту робочими органами сільськогосподарських знарядь

Викладення основного матеріалу. Аналіз літературних джерел з питань визначення площ зон деформації показує, що існує певний науковий вакуум з детального аналізу роботи дискових знарядь.

Це зв'язано із наявністю багатьох факторів (статичних і регульованих), які впливають на величину площи зон деформації від кута атаки θ [1].

Кут атаки дисків впливає на процес їх роботи. Чим більший кут атаки, тим більше кришиться та розпушується ґрунт, краще підрізуються бур'яни та присипається їх насіння. Проте надмірне збільшення кутів атаки ускладнює сповзання часток ґрунту з поверхні диска, а також призводить до скупчення ґрунту перед диском [1]. За невеликих кутів атаки ($10\ldots20^\circ$) диски розрізують верхній шар ґрунту і лише частково кришать і розпушують його. Так відбувається під час роботи дискових борін. У дискових плугах диски розміщують під кутом атаки $\beta = 40\ldots45^\circ$, у лущильниках $\beta = 10\ldots35^\circ$ і боронах $\beta = 10\ldots22^\circ$. Якщо кут атаки становить $10\ldots20^\circ$, то дискові лущильники використовують як дискові борони [1].

Діаметр диска D є основним із геометричних параметрів. Роз-

міри його безпосередньо пов'язані з глибиною обробітку, причому зі збільшенням діаметра диска погіршується його заглиблення в ґрунт внаслідок зростання вертикальної складової реакції ґрунту. Залежно від умов роботи діаметр диска слід вибирати найменшим із допустимих значень.

Між діаметром диска D і глибиною обробітку a рекомендується таке співвідношення:

$$D=ka, \quad (2)$$

де k - коефіцієнт глибини обробітку (для плугів $k=3,0\dots3,5$; для борін $k=4,0\dots6,0$ і для лущильників $k=5,0\dots6,0$).

Діаметри стандартизовані. На причіпних дискових плугах установлюють диски діаметром 610...810 мм, на начіпних 580...710 мм, на боронах - 450...660 мм, а на лущильниках - 450...610 мм. Голчасті диски виготовляють діаметром 350, 450 і 520 мм.

Відстань між дисками на батареї, висота гребенів, що утворюються при проході дисків, їх ширина, відстань між дисками в сукупності утворюють зону недеформованого ґрунту, (що до 50 % зменшує фіксовану глибину обробітку) [1]. Відповідно теоретичне обґрунтування величини площ зон деформованого та недеформованого дисками ґрунту має наукове значення, тож є підставою для визначення тягового опору робочого органу (машини в

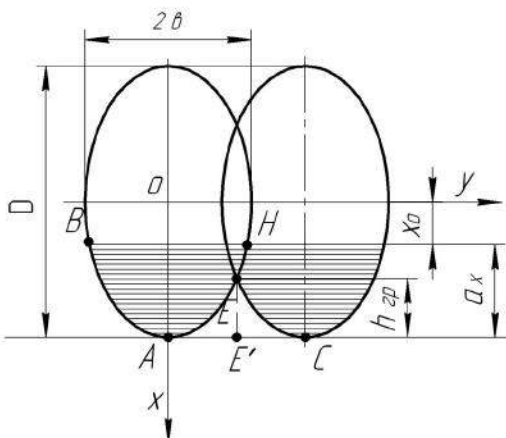


Рис. 2, а. Вертикальна проекція дисків із зонами перекриття

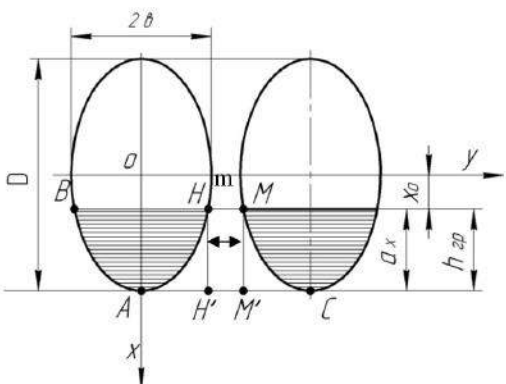


Рис. 2, б. Схема вертикальна: проекція дисків без зони перекриття

цілому та його складових).

Введемо наступні позначення: D – діаметр диска; θ – кут атаки; a_x – глибина ходу; h_{ep} – висота гребеня; b – відстань між дисками

$$\text{Знайдемо: 1) } F_{BHA} = f(D, a_x, \theta)$$

$$2) F_{AEC} = f(D, B, \theta),$$

де F_{BHA} і F_{AEC} – площа нормальної проекції диска, зануреного в ґрунт, і площа поперечного перерізу гребеня ґрунту, нерозпущеного суміжною парою дисків відповідно.

Візьмемо до уваги проекцію двох суміжних, занурених у ґрунт дисків знаряддя, на площину, яка нормальна до ходу агрегату, відносно прямокутної системи координат xOy (рис.2, а).

Обчислимо площу фігури BHA , яка виражає проекцію частини диска, зануреного в ґрунт, і площу фігури AEC , яка виражає поперечний переріз гребеня ґрунту, нерозпущеного суміжними дисками.

Нехай $D/2$ і $2b$ – осі еліпса, який є проекцією диска на нормальну площину до ходу агрегату. Тоді його рівняння має вигляд:

$$\frac{4x}{D^2} + \frac{y^2}{b^2} = 1 \quad (3)$$

Розв'язавши рівняння (1) відносно змінної y , матимемо:

$$y = \frac{b}{D} \cdot \sqrt{D^2 - 4x^2}, \quad (4)$$

де $0 < x \leq \frac{D}{2}$

Тоді площа фігури BHA буде:

$$F_{BHA} = 2 \int_{x_0}^{D/2} \frac{b}{D} \cdot \sqrt{D^2 - 4x^2} dx \quad (5)$$

Обчисливши інтеграл, що записаний у правій частині рівності (5), одержимо:

$$F_{BHA} = \frac{b \cdot D}{2} \left(\frac{\pi}{2} - \arcsin \frac{2x_0}{D} \right) - \frac{bx_0}{D} \cdot \sqrt{D^2 - 4x_0^2} \quad (6)$$

Враховуючи те, що (рис.2, а) $x_0 = \frac{D}{2} - a_x$ і

$$2b = D \cdot \cos(90^\circ - \theta) = D \cdot \sin \theta, \text{ тобто } b = \frac{D}{2} \sin \theta \text{ залежності (6),}$$

після тотожних перетворень і спрощень одержимо:

$$F_{BHA} = \left[\frac{D^2}{4} \left(\frac{\pi}{2} - \arcsin \frac{D - 2a_x}{D} \right) - \frac{D - 2a_x}{2} \cdot \sqrt{a_x \cdot (D - a_x)} \right] \cdot \sin \theta \quad (7)$$

Оскільки фігура AEC (рис 2, а) симетрична відносно вертикальної осі, то:

$$F_{AEE} = 2F_{AEE'} = 2 \left(AE' \cdot h_{ep} - \int_{-x_0}^{D/2} \frac{b}{d} \sqrt{D^2 - 4x^2} dx \right), \quad (8)$$

$$\text{де } x_0 = \frac{D}{2} - h_{ep}$$

Із рис. 2, а витікає, що

$$AE' = y \left(\frac{D}{2} - h_{ep} \right), \quad (9)$$

тому за допомогою рівняння (3) визначаємо:

$$AE' = \frac{2b}{D} \sqrt{h_{ep} (D^2 - h_{ep})} \quad (10)$$

Крім цього,

$$\begin{aligned} I &= \int_{x_1}^{D/2} \frac{b}{D} \sqrt{D^2 - 4x^2} dx = \frac{b}{D} \cdot \int_{x_0}^{D/2} \sqrt{D^2 - 4x^2} dx = \\ &= \frac{bD}{4} \left(\frac{\pi}{2} \arcsin \frac{2x_1}{2D} \right) - \frac{bx_1}{2D} \sqrt{D^2 - 4x_1^2} \end{aligned} \quad (11)$$

Враховуючи одержані вище залежності для b_{\max_i} , рівності (10) і (11) представимо у вигляді:

$$AE' = \sqrt{h_{ep} (D - h_{ep})} \cdot \sin \theta \quad (12)$$

$$I = \frac{1}{2} \left[\frac{D^2}{4} \left(\frac{\pi}{2} - \arcsin \frac{D - 2h_{ep}}{D} \right) - \frac{D - 2h_{ep}}{2} \cdot \sqrt{h_{ep} (D - h_{ep})} \right] \sin \theta \quad (13)$$

Залежність (8) з урахуванням (12) і (13) після спрощень набере вигляду:

$$F_{AEC} = \left[\frac{2h_{ep} + D}{2} \cdot \sqrt{h_{ep} (D - h_{ep})} - \frac{D^2}{4} \left(\frac{\pi}{2} - \arcsin \frac{D - 2h_{ep}}{D} \right) \right] \sin \theta \quad (14)$$

З рис. 1 витікає залежність:

$$B = \left(D - 2h_{ep} \right) \cdot \operatorname{tg}\theta \quad (15)$$

Розв'язавши рівняння (14) відносно h_{ep} , матимемо:

$$h_{ep} = \frac{D \cdot \operatorname{tg}\theta - B}{2 \operatorname{tg}\theta} \quad (16)$$

Після підстановки замість h_{ep} виразу (14) у залежність (12) остання матиме вигляд:

$$F_{AEC} = \left[\frac{2D \cdot \operatorname{tg}\theta - B}{4 \operatorname{tg}^2\theta} \sqrt{D^2 \cdot \operatorname{tg}^2\theta - B^2} - \frac{D^2}{4} \left(\frac{\pi}{2} - \arcsin \frac{B}{D \cdot \operatorname{tg}\theta} \right) \right] \sin\theta \quad (17)$$

Залежність від (15) справедлива при умові:

$$D^2 \cdot \operatorname{tg}^2\theta - B^2 \geq 0 \quad (18)$$

Розв'язавши нерівність (15) відносно B , одержимо залежність:

$$B \leq D \cdot \operatorname{tg}\theta, \text{ де } 0 < \theta < 90^\circ \quad (19)$$

Якщо кут θ вибраний, то відстань B між суміжними дисками потрібно розраховувати із умови (17).

У випадку, зображеному на рис. 2, б, площа фігури BHA також обчислюється за формулою (7).

Площа фігури $AHMC$ виразиться так:

$$F_{AHMC} = 2F_{AHH'} + F_{H'HMM'} \quad (20)$$

Площу фігури AHH' одержимо згідно з формулою (17)

$$F_{AHH'} = \frac{1}{2} \left[\frac{2D \cdot \operatorname{tg}\theta - B}{4 \operatorname{tg}^2\theta} \cdot \sqrt{D^2 \operatorname{tg}^2\theta - B^2} - \frac{D^2}{4} \left(\frac{\pi}{2} - \arcsin \frac{B}{D \cdot \operatorname{tg}\theta} \right) \right] \sin\theta \quad (21)$$

Із рис. 2, б витікає, що:

$$F_{H'HMM'} = m \cdot h_{ep} = m \cdot \frac{D \cdot \operatorname{tg}\theta - B}{2 \operatorname{tg}\theta} \quad (22)$$

З урахуванням (21) і (22) рівність (20) представлено так:

$$F_{AHMC} = \left(\frac{2D \operatorname{tg}\theta - B}{4 \cdot \operatorname{tg}^2\theta} \cdot \sqrt{D^2 \cdot \operatorname{tg}^2\theta - B^2} - \frac{D^2}{4} \left(\frac{\pi}{2} - \arcsin \frac{B}{D \cdot \operatorname{tg}\theta} \right) \right) \sin\theta + \frac{m(D \cdot \operatorname{tg}\theta - B)}{2 \operatorname{tg}\theta} \quad (23)$$

За допомогою рис. 1 визначимо відстань між дисками:

$$B = \left(D + \frac{m}{\sin\theta} \right) \cdot \operatorname{tg}\theta \quad (24)$$

Висновки. Одержані значення площ зон деформації ґрунту диска-ми ґрунтообробних машин дають можливість визначити тяговий опір агрегату, проаналізувати енергозатрати на додаткове розпушування недеформованих зон. У подальших дослідженнях доцільно визначити тяговий опір та його складові у функції від технологічних параметрів до робочих органів та вирішення питання стабілізації руху агрегату в горизонтальній площині, наприклад, використовуючи додаткові робочі органи для обробітку недеформованих зон (гребенів), які одночасно будуть викликати поперечну реакцію ґрунту, але направлену в протилежну сторону від існуючої на дисках подібних зон характером дії.

БІБЛІОГРАФІЯ

1. Сільськогосподарські машини. Основи теорії та розрахунку: Підручник / Д.Г. Войтюк, В.М. Барановський, В.М. Булгаков та ін.; за ред. Д.Г. Войтюка. – К.: Вища освіта, 2005. – 464 с.: іл.
2. Шелудченко Б.А., Фомін М.П., Шубенко В.О., Сітовський О.В. Обґрунтування радіуса кривизни робочої торoidalальної поверхні дискового робочого органу // Збірник наукових праць Національного аграрного університету // «Механізація сільськогосподарського виробництва». К.: вид-во НАУ. - 1998. – Т 4. – С. 97-100.
3. Кушинарев С.А., Погорелый В.В., Чуб С.А. Кинематика точек сферических дисков почвообрабатывающих орудий при взаимодействии с почвой // Вісник ХНТУСГ – Вип. 75. Т. 1. – Харків, 2008.- С.121-127.
4. Кушинарев С., Кравчук В., Чуб В. Использование априорной информации для построения номинальных моделей взаимодействия сферических дисков дисковаторов с почвой. - Техника і технології АПК - № 2. - С. 20-25.
5. Булгаков В.М., Шубенко В.О., Обґрунтування міцності конструкції ротаційного кільцевого робочого органу // Збірник наукових праць Національного аграрного університету «Механізація сільськогосподарського виробництва». Т. 5. «Сучасні проблеми механізації сільського господарства». – К.: НАУ, 1999. – С.356-359
6. Шевченко И.А. Математическая модель взаимодействия дискового рабочего органа с почвой // Праці Таврійської державної аграрно-технологічної академії. – Мелітополь. ТДАТА, 1999. – Вип. 1. – С. 124-130.
7. Лучинский Н.Д. О расчете воздействия почвы на плоский и сферический диски// доклады ВАСХНИЛ. 1983. - № 5. – С. 38-39.

8. Нартов П.С. Дисковые почвообрабатывающие орудия / – Воронеж: Изд-во ВГУ, 1972. – 184 с.
 9. Карпов П.С. Силовые характеристики вращающихся заторможенных сферических дисков. Тракторы и сельхозмашины - 1967 - № 5 - С. 25-26.
 10. Синеоков Г.Н. Дисковые рабочие органы почвообрабатывающих машин / – М. –Л.: Машгиз, 1949.-86 с.
 11. Гуков Я.С. Обробіток ґрунту. Технологія і техніка. Механіко-технологічне обґрунтування енергозберігаючих засобів для обробітку ґрунту в умовах України / Гуков Я.С. – К.:Нора-Принт, 1999. – 275 с.
 12. Польовий Б.П. Шляхи вирішення технічних розрахунків дискових ґрунтообробних знарядь // Механізація та електрифікація сільського господарства. – Глеваха. – 2009. – Вип.86. – С. 186-190
 13. Грищенко О.П. Теоретичні дослідження стійкості руху асиметричної дискової борони // Механізація та електрифікація сільського господарства. – Глеваха. – 2009.- Вип.86. – С. 89-100
-

АНАЛИЗ ЗОН ДЕФОРМАЦИИ ПОЧВЫ ПРИ РАБОТЕ ДИСКОВЫХ ОРУДИЙ

Приведены математические зависимости по определению площади зон деформации почвы дисковыми рабочими органами. Как основание для энергетического анализа процесса обработки почвы.

Ключевые слова: почва, обработка, диск, орудие, зона, деформация, площадь, сопротивление.

DEFINITION OF ZONES OF DEFORMATION OF THE SOIL WHEN USING DISK TOOLS

Shows the mathematical relationships to analysis the area of deformation zones of the soil working members disk. As a basis for energy analysis processing of the soil.

Key words: soil, processing, disk, tool, zone, the deformation, the area resistance.